

Zeitschrift für Orthopädie und Unfallchirurgie

Juli/August 2008 · Seite 419 – 562 · 146. Band

4 · 2008

Orthopädie und Unfallchirurgie aktuell

- 419 Kongressbericht: Spine Arthroplasty Society in Miami Beach USA vom 6. – 9. 5. 2008
421 Wirbelsäule: Wann ist die Kyphoplastie sinnvoll?

Junges Forum

- 425 Aktuelles: „Neues vom Jungen Forum der Orthopäden und Unfallchirurgen“
426 Weiterbildung Orthopädie/Unfallchirurgie: Computerbasierte WDoku®-Weiterbildungsdokumentation

Für Sie gelesen

- 430 Die frische Skaphoidfraktur: Operative oder konservative Behandlung?
431 Hüftkopfkappen- und Total-Hüftendoprothesen: Ionenfreisetzung bei Metall-Metall-Gleitpaarungen
432 Postoperative Infektionen: Frühinfektionen nach operativ versorgter hüftgelenksnaher Fraktur
433 Technische Orthopädie: Evaluation der Lebensqualität mit knochenverankerter Extremitätenprothese
434 Distale Radiusfraktur; Fixateur externe oder Plattenosteosynthese?
435 Lokalanästhetika: Geringere Knorpeltoxizität von Ropivacain im Vergleich zu Bupivacain
436 Medizin und Markt

Editorial | Editorial

- 437 Ein historischer Tag – Deutsche Gesellschaft für Orthopädie und Unfallchirurgie gegründet
An Historic Day – Foundation of the German Society for Orthopedics and Accident Surgery
F. U. Niethard, K. Weise

► Wirbelsäule | Spine

- 439 Biomechanischer Wirkungsnachweis einer Lendenwirbelsäulen-Entlastungsothese zur Kreuzschmerzbehandlung
Proof of the Biomechanical Effect of a Lumbar Spine-Relief Orthosis for Treatment of Sacroiliac Pain
S. Höfer, C. H. Siemsen

In Kürze: In der vorliegenden Studie wurde die Druckentlastung des Körpers in Höhe der Bandscheibe L3–L4 durch die Anwendung der T-Flex-B-Überbrückungsothese mithilfe von FSR-Drucksensoren ermittelt.

- 444 Therapeutische Effizienz langstreckiger Fusionen im Bereich der LWS
Therapeutic Efficiency in Multisegmental Fusions of the Lumbar Spine
H.-J. Riesner, K. A. Matzen, M. Mlinaric, A. Wild

In Kürze: Diese prospektive Studie evaluiert die Effektivität eines Fixateur interne (Matzen-Hermann-Wirbelsäulenfixateur, Sysmedical, Schweiz) bei multisegmentalen Degenerationen der Lendenwirbelsäule. Die hohe Patientenzufriedenheit, fehlendes Implantatversagen und niedrige Pseudarthrosenrate sprechen für das Fixateursystem.

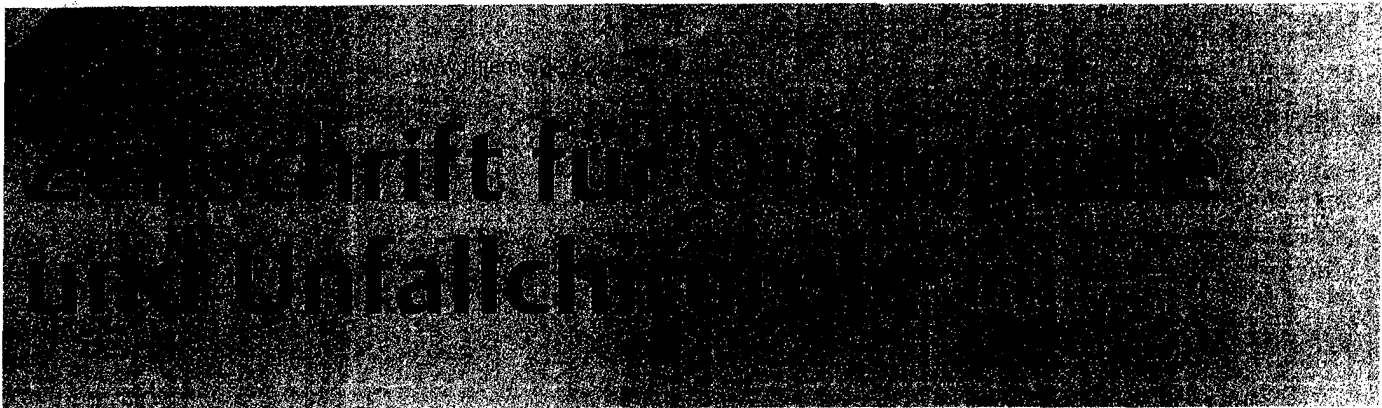
Zeitschrift für Orthopädie und Unfallchirurgie

Juli/August 2008 · Seite 419 – 562 · 146. Band

- 452 Einfluss der Inlaygröße einer lumbalen Bandscheibenprothese auf das Bewegungsverhalten
Influence of Inlay Height on Motion Characteristics of Lumbar Segments in Total Disc Replacement
M. Weißkopf, J. A. K. Ohnsorge, F. Martini, F. U. Niethard, K. Birnbaum
In Kürze: Die Auswahl des Polyäthyleninlays determiniert die Gesamthöhe einer Bandscheibenvollprothese. Bei unphysiologischer Erhöhung des Bandscheibenzwischenraums resultiert eine signifikante Reduktion der Beweglichkeit im lumbalen Bandscheibensegment.
- 458 Klinische Präzision der C-Arm-Navigation an der Brust- und Lendenwirbelsäule
Clinical Accuracy of Fluoroscopic Navigation at the Thoracic and Lumbar Spine
M. Arand, S. Teller, F. Gebhard, M. Schultheiss, P. Keppler
In Kürze: Präzision der C-Arm-Navigation lumbal höher als thorakal. Lernkurve bei der navigierten Instrumentierung nachweisbar.
- 463 Intraspinale Echinokokkose der Lendenwirbelsäule eines 18-jährigen männlichen Patienten
Intraspinal Echinococcosis within the Lumbar Spine of an 18-Year-Old Male Patient
C. Spies, M. Weißkopf, J. A. K. Ohnsorge
In Kürze: Die Kasuistik einer intraspinalen Echinokokkose verdeutlicht den Stellenwert der kernspintomografischen Bildgebung als Goldstandard im Zusammenhang mit einer stichhaltigen Anamnese zur schnellen Diagnosefindung mit entsprechender individuell ausgerichteter Therapie.
- 468 Okkulte sakrale Meningozele – eine diagnostische Herausforderung
Occult Sacral Meningocele – A Diagnostic Challenge
I. Pehlivanis, M. Scholz, A. Harders, K. Schmieder
In Kürze: Kasuistik eines Patienten mit einer okkulten sakralen Meningozele, die initial als Facettgelenks-Zyste diagnostiziert wurde; Darstellung der klinischen, bildmorphologischen Befunde sowie des intraoperativen Aspekts und Betrachtung der Differenzialdiagnosen.



Titelbild: Kallusreifung, ab Seite 486.
Quelle: Georg Thieme Verlag.



Juli/August 2008 · Seite 419 – 562 · 146. Band

► **Schulter | Shoulder**

- 471 **Subjektives und klinisches Outcome nach Rekonstruktion der Rotatorenmanschette im höheren Lebensalter**

Subjective and Clinical Outcome after Rotator Cuff Repair in Elderly Patients
O. Kilian, G. Balse, C. Heiss, T. Pavlidis, R. Schnettler

In Kürze: Die vorliegenden Untersuchungen zeigen signifikante Verbesserungen des Constant-Murray-Scores nach Rekonstruktion der Rotatorenmanschette bei Patienten im höheren Lebensalter. Eine Indikationsstellung zur operativen Rekonstruktion der Rotatorenmanschettenruptur ist abhängig von der Bateman-Klassifikation. Erwartungsgemäß wurden die schlechtesten postoperativen Ergebnisse in der Bateman-IV-Gruppe erreicht. Durch weichteilschonende, arthroskopische Techniken sollten die postoperativen subjektiven und klinischen Befunde noch weiter verbessert werden können.

- 478 **Differenzialindikation anatomischer und inverser Schulterendoprothesen in der sekundären Frakturprothetik**

Differential Indication of Anatomic and Reversed Shoulder Protheses in Fracture Sequelae
U. Irlenbusch, U. Fuhrmann, K. Gebhardt, O. Rott

In Kürze: Die Ergebnisse der sekundären Frakturprothetik des proximalen Humerus sind als Folge der mangelhaften Einheilung der Tubercula unbefriedigend. Durch den differenzierten Einsatz von anatomischen und inversen Schulterendoprothesen in Abhängigkeit von den Frakturfolgetypen 1–4 nach Boileau ist eine Optimierung der Ergebnisse möglich.

→ Siehe hierzu auch den Beitrag zu den OP-Techniken auf Seite 555.

► **Kallusreifung | Callus Maturation**

- 486 **Vitalisiertes Allograft zur Behandlung von Regeneratversagen der proximalen Tibia nach Kallusdistraction: Zwei Fallberichte**

Vitalised Allogenic Cancellous Bone in the Treatment of Segmental Defects of the Tibia after Distraction Osteogenesis: Two Case Reports
A. Ateschrang, D. Albrecht, K. Weise, B. G. Ochs

In Kürze: In zwei Fällen wurden segmentale knöcherne Defekte der Tibia nach Segmenttransport (im Bereich der Distraktionsstrecke) mit vitalisiertem Allograft aufgefüllt. Es kam in beiden Fällen zur knöchernen Durchbauung.

- 490 **Laborchemische Kontrolle der Kallusreifung – eine tierexperimentelle Studie**
Biochemical Control of Callus Maturation – An Experimental Animal Study
J. Schmidt, H. Winker, I. Schmidt, A. Ekkernkamp, H. Merk

In Kürze: Die Reifung des Distraktionskallus lässt sich durch die Laborwerte AIP und NTx nachvollziehen, ein eindeutiger Anstieg zeigt das histologische Ausreifen des Distraktionskallus.



Okkulte sakrale Meningozysten sind seltene zystische epidurale Raumforderungen. Intraoperatives Bild nach spinaler knöcherner Dekompression, Seite 470.

Zeitschrift für Orthopädie und Unfallchirurgie

Juli/August 2008 · Seite 419 – 562 · 146. Band

- 498 Welche Rolle spielen die Weichteile bei der Kallusdistraction? Eine tierexperimentelle Studie

What Role does Soft Tissue Play in Callus Distraction? An Animal Experiment
J. Schmidt, I. Schmidt, H. Winker, H. Merk, A. Ekkernkamp

In Kürze: Unser Tierversuch scheint zu bestätigen, dass auch die offene Kallusdistraction zu einer akzeptablen Knochenqualität führt. Der Zeitaufwand der Maturierungsphase scheint ebenfalls nicht länger zu sein als bei Kallusdistractionen unter sanierten Weichteilen. Trotzdem ist die Weichteilsanierung aufgrund der Stabilität der Weichteildeckung, der Kosmetik und der Alltagsbrauchbarkeit der Extremität zu bevorzugen.

Infektionen | Infections

- 507 Die Gelenkinfektion des jungen Menschen durch *Streptococcus uberis*, ein Erreger der Mastitis beim Rind – eine Einzelfalldarstellung

Joint Infection in a Young Patient Caused by *Streptococcus uberis*, a Pathogen of Bovine Mastitis – A Case Report
S. Kessel, C. E. Wittenberg

In Kürze: Der für eine Mastitis beim Rind bekannte *Streptococcus uberis* ist in der Lage, bei einem gesunden Menschen mittleren Alters eine hämatogen bedingte eitrige Gelenkinfektion mit bleibendem Funktionsverlust des Gelenkes zu verursachen.

- 510 Die bakterielle und abakterielle Osteitis des Beckens: Manifestations- und Therapieformen

Pelvic Osseous Infections: Clinical Outcome and Surgical Treatment
O. Weber, S. Gravius, S. Henkel, P. Berdel, C. Burger, D. C. Wirtz

In Kürze: Bakterielle und abakterielle Beckenosteitiden nehmen unterschiedliche Erscheinungsformen an und müssen unterschiedlich therapiert werden. Während bei den bakteriellen Osteitiden ein Interventionszwang gegeben ist, können die sterilen BO zunächst konservativ therapiert werden.

Weiter- und Fortbildung | Further Education and Training

- 520 Entwicklung des Lernzielkatalogs „Muskuloskeletale Erkrankungen, Verletzungen und traumatische Notfälle“ für Orthopädie–Unfallchirurgie im Medizinstudium

Development of a Catalogue of Undergraduate Learning Objectives for Orthopaedics and Traumatology

K. E. Dreinhöfer, F. Walcher, U. Obertacke, C. Waydhas, C. Josten, M. Rüsseker, R.-A. Venbrocks, U. Liener, I. Marzi, D. Nast-Kolb, R. Forst

In Kürze: Erstellung eines Lernzielkatalogs Orthopädie–Unfallchirurgie einschließlich Gliederung und Priorisierung des kognitiven Wissens, der Kompetenzstufen psychomotorischer Fertigkeiten sowie des emotionalen Wissens und Kompetenz als Grundlage der studentischen Lehre an deutschen Fakultäten und Lehrkrankenhäusern.

Zeitschrift für Orthopädie und Unfallchirurgie

Juli/August 2008 · Seite 419 – 562 · 146. Band

534 **Kongresskalender**

537 **Refresher**
Per- und subtrochantäre Femurfrakturen

555 **Operative Techniken**
Omarthrose
→ Siehe hierzu auch den Beitrag von U. Irlenbusch et al. auf Seite 478.

Impressum: letzte Seite

Manuskripteinreichung:

Elektronisch unter <http://mc.manuscriptcentral.com/zorthop>

Per Post einzureichen unter:

Prof. Dr. F. U. Niethard, Direktor der Orthopädischen Klinik der RWTH Aachen,
Pauwelsstr. 30, 52074 Aachen

Bei Fragen zur Manuskripteinreichung berät Sie jederzeit gerne
Herr Wolfgang Sommer in Aachen, Tel.: +49-(0)241-76765